

trasformata di $s(t) = \cos(\omega_0 t)$ con $x(t)$ gradino unitario simmetrico $1(t) = \begin{cases} \frac{1}{2} & t > 0 \\ -\frac{1}{2} & t < 0 \end{cases}$

esprimo il coseno come somma di due esponenziali complessi: $\cos(\omega_0 t) = \frac{e^{j\omega_0 t} + e^{-j\omega_0 t}}{2}$

$$s(t) = \frac{1}{2} x(t) e^{j\omega_0 t} + \frac{1}{2} x(t) e^{-j\omega_0 t}$$

invece per $\sin(\omega_0 t) = \frac{e^{j\omega_0 t} - e^{-j\omega_0 t}}{2j}$

$$\begin{aligned} S(\omega) &= \int_{-\infty}^{+\infty} s(t) e^{-j\omega t} dt = \frac{1}{2} \int_{-\infty}^{+\infty} x(t) e^{j\omega_0 t} e^{-j\omega t} dt + \frac{1}{2} \int_{-\infty}^{+\infty} x(t) e^{-j\omega_0 t} e^{-j\omega t} dt \\ &= \frac{1}{2} \int_{-\infty}^{+\infty} x(t) e^{-j t (\omega - \omega_0)} dt + \frac{1}{2} \int_{-\infty}^{+\infty} x(t) e^{-j t (\omega + \omega_0)} dt = \frac{1}{2} x(\omega - \omega_0) + \frac{1}{2} x(\omega + \omega_0) \end{aligned}$$

trasformata del gradino unitario $\rightarrow X(\omega) = \frac{1}{j\omega}$

$$S(\omega) = \frac{1}{2} x(\omega - \omega_0) + \frac{1}{2} x(\omega + \omega_0) = \frac{1}{2} \cdot \frac{1}{j(\omega - \omega_0)} + \frac{1}{2} \cdot \frac{1}{j(\omega + \omega_0)} = \frac{1}{2j} \left(\frac{\omega}{\omega^2 - \omega_0^2} \right) = \frac{1}{j} \left(\frac{\omega}{\omega^2 - \omega_0^2} \right)$$

spettro di ampiezza monolatero: $V(\omega) = \frac{|S(\omega)|}{\pi} = \frac{|\omega|}{\pi |\omega^2 - \omega_0^2|}$

$|a| = \sqrt{a^2 + b^2}$
 $(\omega^2 - \omega_0^2) = b$

spettro di fase monolatero: $\varphi(\omega) = -\arg\{S(\omega)\} = \arg\{\omega^2 - \omega_0^2\} - \arg\{\omega\} = \begin{cases} -\frac{\pi}{2} & \omega \leq \omega_0 \\ \frac{\pi}{2} & \omega > \omega_0 \end{cases}$

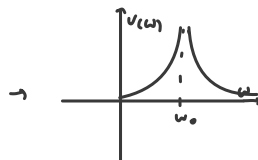
$\sqrt{(\omega^2 - \omega_0^2)^2} = \omega^2 - \omega_0^2$

grafico di $V(\omega) = \frac{|\omega|}{\pi |\omega^2 - \omega_0^2|}$

quando $\omega = 0 \rightarrow 0$

quando $\omega \rightarrow +\infty \rightarrow \lim_{\omega \rightarrow +\infty} \frac{|\omega|}{\pi (\omega^2 - \omega_0^2)} = 0$

quando $\omega = \omega_0 \rightarrow \frac{|\omega_0|}{\pi (\omega_0^2 - \omega_0^2)} = \frac{|\omega_0|}{0} = +\infty$



$s(t) = x(t) \sin(\omega_0 t)$ con $x(t) = 1(t) = \begin{cases} \frac{1}{2} & t > 0 \\ -\frac{1}{2} & t < 0 \end{cases}$

esprimo il seno come somma di due esponenziali complessi coniugati $\rightarrow \sin = \frac{e^{j\omega_0 t} - e^{-j\omega_0 t}}{2j}$

$$s(t) = \frac{1}{2j} x(t) e^{j\omega_0 t} - \frac{1}{2j} x(t) e^{-j\omega_0 t}$$

$$\begin{aligned} S(\omega) &= \int_{-\infty}^{+\infty} s(t) e^{-j\omega t} dt = \frac{1}{2j} \int_{-\infty}^{+\infty} x(t) e^{j\omega_0 t} e^{-j\omega t} dt - \frac{1}{2j} \int_{-\infty}^{+\infty} x(t) e^{-j\omega_0 t} e^{-j\omega t} dt \\ &= \frac{1}{2j} \int_{-\infty}^{+\infty} x(t) e^{j t (\omega - \omega_0)} dt - \frac{1}{2j} \int_{-\infty}^{+\infty} x(t) e^{j t (\omega + \omega_0)} dt \\ &= \frac{1}{2j} x(\omega - \omega_0) - \frac{1}{2j} x(\omega + \omega_0) \rightarrow X(\omega) = \frac{1}{j\omega} \rightarrow S(\omega) = \frac{1}{2j} \cdot \frac{1}{j(\omega - \omega_0)} - \frac{1}{2j} \cdot \frac{1}{j(\omega + \omega_0)} \end{aligned}$$

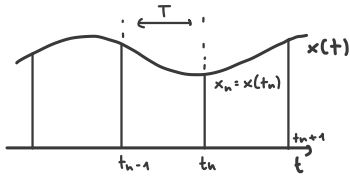
ampiezza monolatero $\rightarrow V(\omega) = \frac{|S(\omega)|}{\pi} = \frac{|\omega|}{\pi |\omega^2 - \omega_0^2|} = \frac{1}{2j^2 (\omega + \omega_0)} + \frac{1}{2j^2 (\omega - \omega_0)} = \frac{\omega + \omega_0 + \omega - \omega_0}{2j^2 (\omega + \omega_0)(\omega - \omega_0)}$

Fase monolatero \rightarrow sono due numeri reali
sia al numeratore che $\rightarrow \varphi(\omega) = 0$
al denominatore

$$= \frac{2\omega}{2j^2 (\omega^2 - \omega_0^2)} = \frac{\omega}{j^2 (\omega^2 - \omega_0^2)} = \frac{\omega}{\omega_0^2 - \omega^2}$$

TEOREMA DEL CAMPIONAMENTO DI SHANNON → per risolvere tutte le frequenze in una funzione, deve essere campionata al doppio della frequenza più alta presente

Il campionamento è il primo passo del processo di conversione analogico-digitale di un segnale. Consiste nel prelievo di campioni da un segnale analogico e continuo nel tempo, quindi nel leggere i valori di una funzione tempo continua ad intervalli regolari.



I valori $x_n = x(t_n)$ sono detti valori campionati, gli istanti di lettura t_n istanti di campionamento, l'intervallo costante T che li separa è detto intervallo di campionamento e il suo inverso $\frac{1}{T} = f_0$, frequenza di campionamento.

Possiamo porre $t_n = nT$ (assumendo l'origine dei tempi in uno degli istanti di campionamento) → $x_n = x(nT)$

$n = \dots, -2, -1, 0, 1, 2, \dots$

Fra la trasformata $X_s(\omega)$ della serie e la trasformata $X(\omega)$ della funzione campionata vale la seguente importantissima relazione

$$X_s(\omega) = \frac{1}{T} \sum_{k=-\infty}^{\infty} X(\omega + k\omega_0)$$

→ la dimostrazione si basa sulla "doppia natura" dei campioni ed in particolare sul confronto fra le due seguenti formule di antitrasf. In quanto elementi di una serie gli x_n possono essere espressi come antitrasformata della trasformata della serie:

antitrasformata di una serie

$$x_n = \frac{1}{2\pi} \int_{-\pi/T}^{+\pi/T} X_s(\omega) e^{j\omega nT} d\omega$$

somma infinita di piccoli intervalli

$$\begin{aligned} x(nT) &= \frac{1}{2\pi} \int_{-\infty}^{+\infty} X(\omega) e^{j\omega nT} d\omega = \frac{1}{2\pi} \sum_{k=-\infty}^{\infty} \int_{-\pi/T - k\omega_0}^{+\pi/T + k\omega_0} X(\omega) e^{j\omega nT} d\omega \stackrel{\xi = \omega - k\omega_0}{=} \frac{1}{2\pi} \sum_{k=-\infty}^{\infty} \int_{-\pi/T}^{+\pi/T} x(\xi + k\omega_0) e^{j\omega nT} d\xi = \\ &= \frac{1}{2\pi} \sum_{k=-\infty}^{\infty} \int_{-\pi/T}^{+\pi/T} x(\xi + k\omega_0) \underbrace{e^{j\omega_0 nT}}_1 e^{j\xi nT} d\xi = \frac{1}{2\pi} \sum_{k=-\infty}^{\infty} \int_{-\pi/T}^{+\pi/T} x(\omega + k\omega_0) e^{j\omega nT} d\omega \end{aligned}$$

$$x_n = x(nT) \rightarrow \frac{T}{2\pi} \int_{-\pi/T}^{+\pi/T} X_s(\omega) e^{j\omega nT} d\omega = \frac{1}{2\pi} \sum_{k=-\infty}^{\infty} \int_{-\pi/T}^{+\pi/T} x(\omega + k\omega_0) e^{j\omega nT} d\omega$$

$$\rightarrow \int_{-\pi/T}^{+\pi/T} X_s(\omega) e^{j\omega nT} d\omega = \frac{1}{T} \sum_{k=-\infty}^{\infty} \int_{-\pi/T}^{+\pi/T} x(\omega + k\omega_0) e^{j\omega nT} d\omega \rightarrow X_s(\omega) = \frac{1}{T} \sum_{k=-\infty}^{\infty} x(\omega + k\omega_0)$$

$\Delta t = \frac{1}{2\omega_{max}}$
Nyquist
↑
velocità di camp.

Il teorema di Shannon definisce la minima frequenza, detta frequenza di Nyquist, necessaria per campionare un segnale analogico senza perdere informazioni, e per poter quindi ricostruire il segnale analogico tempo continuo originario.

In particolare, il teorema afferma che, dato un segnale a banda limitata (trasformata di Fourier nulla al di fuori di un certo intervallo di frequenze), la minima frequenza di campionamento necessaria per evitare aliasing e perdita di informazione nella ricostruzione del segnale analogico originario deve essere maggiore del doppio della sua frequenza massima. → $f_0 > 2 f_{max}$

Volendo esprimere $x(t)$ in funzione dei suoi valori campionati $x(nT)$, scegliamo la frequenza di Nyquist per isolare il termine centrale

$\omega_0 > 2 \omega_{max}$

↪ $\frac{\omega_0}{2}$ → metà freq. di campionam.

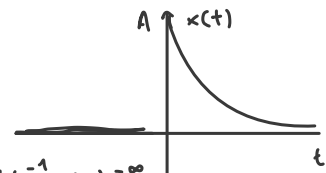
$$X(\omega) = \begin{cases} TX_s(\omega) & \text{se } |\omega| < \frac{\omega_0}{2} \\ 0 & \text{altrove} \end{cases} \rightarrow \text{la inseriamo nella formula di antitrasformazione di } x(t)$$

$$x(t) = \frac{1}{2\pi} \int_{-\infty}^{+\infty} X(\omega) e^{j\omega t} d\omega = \frac{T}{2\pi} \int_{-\frac{\omega_0}{2}}^{+\frac{\omega_0}{2}} X_s(\omega) e^{j\omega t} d\omega = \frac{T}{2\pi} \sum_{n=-\infty}^{\infty} x_n \int_{-\pi/T}^{+\pi/T} e^{j\omega t} e^{-j\omega nT} d\omega = \frac{T}{2\pi} \sum_{n=-\infty}^{\infty} x_n \frac{e^{j\omega(t-nT)}}{j(t-nT)} \Big|_{-\pi/T}^{+\pi/T} =$$

$$= \frac{T}{\pi} \sum_{n=-\infty}^{\infty} x_n \frac{\text{sen}[\frac{\pi}{T}(t-nT)]}{t-nT} = \sum_{n=-\infty}^{\infty} x_n \frac{\text{sen}[\frac{\pi}{T}(t-nT)]}{\frac{\pi}{T}(t-nT)} = \sum_{n=-\infty}^{\infty} x_n \text{sinc}\left[\frac{1}{T}(t-nT)\right] \quad \text{con banda in } [0, \frac{\omega_0}{2}]$$

→ sviluppo in serie di Shannon

Trasformata esponenziale monolaterale $\rightarrow x(t) = \begin{cases} 0 & t < 0 \\ Ae^{-\frac{t}{t_0}} & t \geq 0 \end{cases} \quad t_0 > 0 \rightarrow$



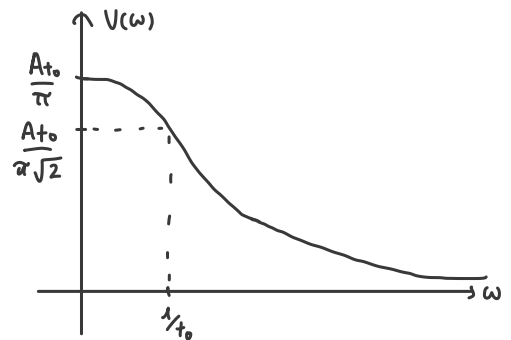
$$X(\omega) = \int_{-\infty}^{+\infty} x(t) e^{-j\omega t} dt = A \int_0^{+\infty} e^{-\frac{t}{t_0}} e^{-j\omega t} dt = A \int_0^{+\infty} e^{t(\frac{-1}{t_0} - j\omega)} dt = A \left[\frac{e^{t(\frac{-1}{t_0} - j\omega)}}{\frac{-1}{t_0} - j\omega} \right]_0^{+\infty} = \frac{A t_0}{1 + j\omega t_0}$$

ampiezza monolaterale $= V(\omega) = \frac{|X(\omega)|}{\pi} = \frac{A t_0}{\pi} \frac{1}{\sqrt{1 + \omega^2 t_0^2}} \quad \omega \geq 0$

grafico $\rightarrow \omega = 0 \rightarrow V(\omega) = \frac{A t_0}{\pi}$

$\omega = +\infty \rightarrow V(\omega) = 0 \rightarrow \frac{1}{+\infty}$

$\omega = \frac{1}{t_0} \rightarrow \frac{A t_0}{\pi} \frac{1}{\sqrt{1 + (\frac{1}{t_0})^2 t_0^2}} = \frac{A t_0}{\pi} \frac{1}{\sqrt{1 + 1}} = \frac{A t_0}{\pi \sqrt{2}}$

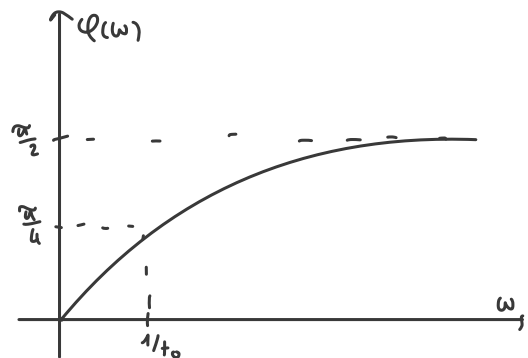


fase monolaterale $\cdot \varphi(\omega) = -\arg\{X(\omega)\} = \arg\{1 + j\omega t_0\} - \arg\{A t_0\}$

grafico $\rightarrow \omega = 0 \rightarrow 0$ $\arg\left\{\frac{\omega t_0}{1}\right\} = \arctan \omega t_0$ $\arg\{A t_0\} = \text{reale} = 0$ $\varphi(\omega) = \arctan \omega t_0$

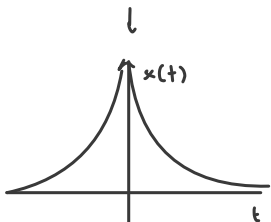
$\omega = +\infty \rightarrow \lim_{\omega \rightarrow +\infty} \arctan \omega t_0 = \frac{\pi}{2}$

$\omega = \frac{1}{t_0} \rightarrow \arctan \frac{1}{t_0} t_0 = \arctan 1 = \frac{\pi}{4}$



grafici uguali a quelli di circuito RC

Trasformata esponenziale bilaterale



$x(t) = Ae^{-\frac{|t|}{t_0}} \quad t_0 > 0 \rightarrow$ visto che c'è il modulo lo spezziamo in 2 integrali diversi

$$X(\omega) = \int_{-\infty}^{+\infty} x(t) e^{-j\omega t} dt = A \int_{-\infty}^0 e^{\frac{t}{t_0}} e^{-j\omega t} dt + A \int_0^{+\infty} e^{-\frac{t}{t_0}} e^{-j\omega t} dt =$$

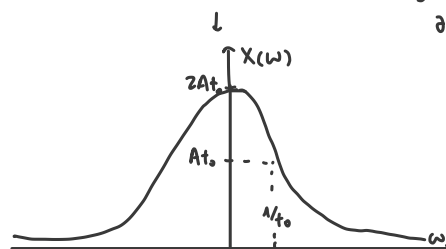
$$= A \int_{-\infty}^0 e^{t(\frac{1}{t_0} - j\omega)} dt + A \int_0^{+\infty} e^{t(\frac{-1}{t_0} - j\omega)} dt =$$

$$= A \left[\frac{e^{t(\frac{1}{t_0} - j\omega)}}{\frac{1}{t_0} - j\omega} \right]_{-\infty}^0 + A \left[\frac{e^{t(\frac{-1}{t_0} - j\omega)}}{\frac{-1}{t_0} - j\omega} \right]_0^{+\infty} = A \frac{1}{\frac{1}{t_0} - j\omega} + A \frac{-1}{\frac{-1}{t_0} - j\omega}$$

$$= \frac{A t_0}{1 - j\omega t_0} + \frac{A t_0}{1 + j\omega t_0} = \frac{2A t_0}{1 + \omega^2 t_0^2}$$

\rightarrow trasformata sempre positiva \rightarrow coincide con il suo modulo, quindi con spettro ampiezza bilatero

\rightarrow ampiezza nulla per stesso motivo



DFT → trasformata di Fourier discreta → si applica a un vettore, generalmente complesso

$$(x_0, \dots, x_{N-1}) \Leftrightarrow (X_0, \dots, X_{N-1})$$

trasformata → $X_s(\omega) = \sum_{n=-\infty}^{\infty} x_n e^{-j n \omega T}$ $\begin{cases} \omega = q \\ T = \frac{2\pi}{N} \end{cases} \rightarrow \boxed{X_q = \sum_{n=0}^{N-1} x_n e^{-j \frac{2\pi}{N} n q}}$

antitrasformata → $x_n = \frac{1}{N} \sum_{q=0}^{N-1} X_q e^{j \frac{2\pi}{N} n q}$

↓
dimostrazione

$$\hookrightarrow \frac{1}{N} \sum_{q=0}^{N-1} X_q e^{j \frac{2\pi}{N} n q} = \frac{1}{N} \sum_{q=0}^{N-1} \sum_{k=0}^{N-1} x_k e^{-j \frac{2\pi}{N} k q} e^{j \frac{2\pi}{N} n q} \overset{\text{raccolgo}}{=} \frac{1}{N} \sum_{q=0}^{N-1} \sum_{k=0}^{N-1} x_k e^{j \frac{2\pi}{N} n q (n-k)} =$$

↓
sostituisco X_q
con la sua definizione

$$= \frac{1}{N} \sum_{k=0}^{N-1} x_k \sum_{q=0}^{N-1} \left[e^{j \frac{2\pi}{N} n (n-k)} \right]^q \rightarrow \text{dall'analisi ricordiamo la serie geometrica} \rightarrow \sum_{q=0}^{N-1} x^q = \begin{cases} \frac{1-x^N}{1-x} & x \neq 1 \\ N & x = 1 \end{cases}$$

$$\begin{cases} \frac{1 - \left[e^{j \frac{2\pi}{N} n (n-k)} \right]^N}{1 - e^{j \frac{2\pi}{N} n (n-k)}} & \text{se } n \neq k \\ N & \text{se } n = k \end{cases} \rightarrow \frac{1 - e^{j 2\pi n (n-k)}}{1 - e^{j \frac{2\pi}{N} n (n-k)}} \Rightarrow e^{j 2\pi n (n-k)} = 1 \Rightarrow 0$$

$$\Rightarrow x_n = \frac{1}{N} \sum_{k=0}^{N-1} x_k \underbrace{\sum_{q=0}^{N-1} \left[e^{j \frac{2\pi}{N} n (n-k)} \right]^q}_{=0 \text{ per quello detto prima}} = \frac{1}{N} N x_n = x_n$$

teorema di Parseval:

$$\sum_{n=0}^{N-1} |x_n|^2 = \frac{1}{N} \sum_{k=0}^{N-1} |X_k|^2$$

la DFT può essere usata per calcolare in modo approssimato la trasformata di segnali continui.

il legame riguarda le ripetizioni periodiche di $x(t)$ e $X(\omega)$

$$x_p(t) = \sum_{k=-\infty}^{\infty} x(t - kT_p) \quad X_p(\omega) = \sum_{k=-\infty}^{\infty} x(\omega - k\omega_p) \quad \boxed{T_p \omega_p = 2\pi N} \rightarrow \left. \begin{array}{l} \Delta t = \frac{T_p}{N} = \frac{2\pi}{\omega_p} \\ \Delta \omega = \frac{\omega_p}{N} = \frac{2\pi}{T_p} \end{array} \right\} \Delta t \Delta \omega = \frac{2\pi}{N}$$

↙ legame tra i periodi

si definiscono le n-ple di numeri

$$\Delta t \cdot x_p(n \Delta t) \quad n = 0, 1, \dots, N-1 \quad X_p(q \Delta \omega) \quad q = 0, 1, \dots, N-1$$

valgono allora le uguaglianze → $\Delta t \cdot x_p(n \Delta t) = F_d^{-1}(X_p(q \Delta \omega)) \quad X_p(q \Delta \omega) = F_d(\Delta t \cdot x_p(n \Delta t))$

se non c'è aliasing né nei tempi né nelle frequenze, è possibile ricavare la trasformata continua da quella discreta

la FFT è un algoritmo ottimizzato per calcolare la DFT o la sua inversa → il più famoso è algoritmo di Cooley-Tukey

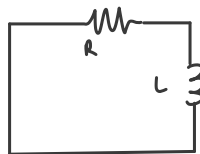
↓
la DFT → quantità di operazioni aritmetiche $O(N^2)$ → abbastanza lenta e laboriosa

↓
FFT ottiene stesso risultato con $O(N \log(N))$ operazioni → veloce!!!

↙
in generale questi algoritmi si basano sulla fattorizzazione di N

↓
spezza ricorsivamente una DFT di dimensione N , con N t.c. $N = N_1 N_2$ in DFT più piccole di dim. N_1 e N_2

Circuito RL



$$Z_2 = j\omega L \quad Z_1 = R$$

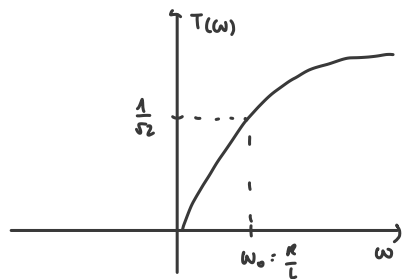
$$H(\omega) = \frac{Z_2}{Z_1 + Z_2} = \frac{j\omega L}{R + j\omega L} \stackrel{\text{divido } \times j\omega L}{=} \frac{1}{1 + \frac{R}{j\omega L}}$$

$$\omega_0 = \frac{R}{L} \rightarrow H(\omega) = \frac{1}{1 - j \frac{\omega_0}{\omega}}$$

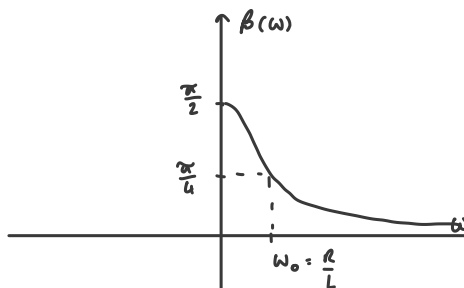
$$T(\omega) = |H(\omega)| = \left| \frac{1}{1 - j \frac{\omega_0}{\omega}} \right| = \frac{1}{\sqrt{1 + \left(\frac{\omega_0}{\omega}\right)^2}}$$

$$\beta(\omega) = -\arg\{H(\omega)\} = \arg\left\{1 - j \frac{\omega_0}{\omega}\right\} = \arctan \frac{\omega_0}{\omega}$$

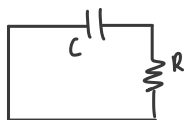
↓
gráfico → $\omega = 0 \rightarrow 0$
 $\omega = +\infty \rightarrow +\infty$
 $\omega = \omega_0 \rightarrow \frac{1}{\sqrt{1+1}} = \frac{1}{\sqrt{2}}$



↓
gráfico → $\omega = 0 \rightarrow \arctan +\infty = \frac{\pi}{2}$
 $\omega = +\infty \rightarrow \arctan 0 = 0$
 $\omega = \omega_0 \rightarrow \arctan 1 = \frac{\pi}{4}$



Circuito CR



$$H(\omega) = \frac{Z_2}{Z_1 + Z_2} = \frac{R}{R + \frac{1}{j\omega C}} \stackrel{\text{multiplico } \times j\omega C}{=} \frac{j\omega CR}{1 + j\omega CR}$$

$$\arg\{1 + j\omega CR\} = \arctan(\omega CR)$$

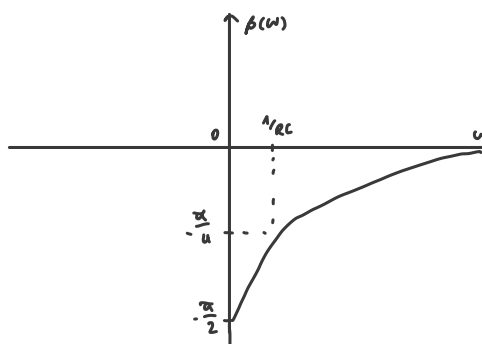
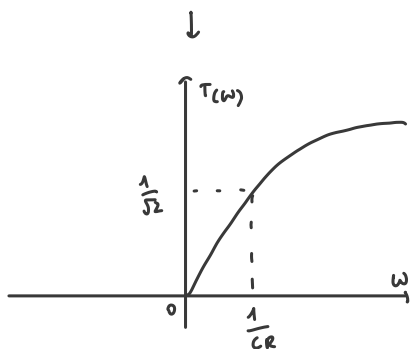
$$\arg\{j\omega CR\} = \frac{\pi}{2} \rightarrow a=0, b>0$$

$$T(\omega) = |H(\omega)| = \left| \frac{j\omega CR}{R + j\omega CR} \right| = \frac{\omega CR}{\sqrt{1 + (\omega CR)^2}}$$

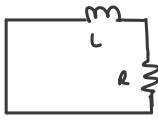
$$\beta(\omega) = -\arg\{H(\omega)\} = \arg\{1 + j\omega CR\} - \arg\{j\omega CR\} = \arctan(\omega CR) - \frac{\pi}{2}$$

↓
gráfico → $\omega = 0 \rightarrow 0$
 $\omega = +\infty \rightarrow +\infty$
 $\omega = \omega_0 \rightarrow \frac{\frac{1}{CR} CR}{\sqrt{1 + \left(\frac{1}{CR} CR\right)^2}} = \frac{1}{\sqrt{2}}$
 $\omega_0 = \frac{1}{CR}$

↓
gráfico → $\omega = 0 \rightarrow -\frac{\pi}{2}$
 $\omega = +\infty \rightarrow 0$
 $\omega = \frac{1}{RC} \rightarrow \arctan\left(\frac{1}{CR} CR\right) - \frac{\pi}{2} = \frac{\pi}{4} - \frac{\pi}{2} = -\frac{\pi}{4}$



Circuito LR



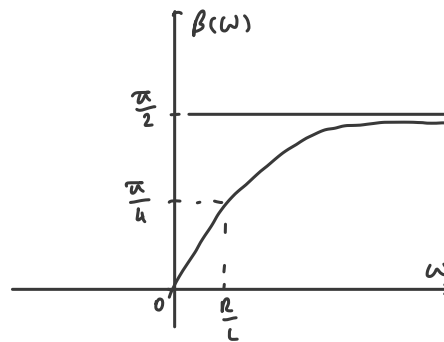
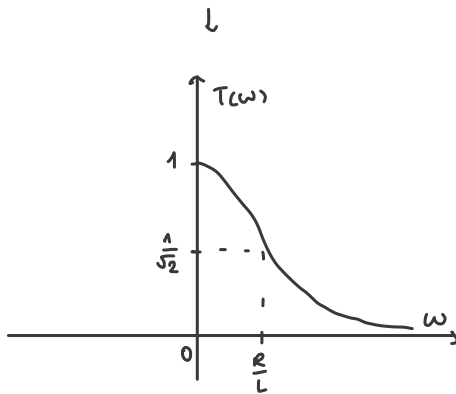
$$H(\omega) = \frac{Z_2}{Z_1 + Z_2} = \frac{R}{j\omega L + R} = \frac{1}{1 + \frac{j\omega L}{R}}$$

$$T(\omega) = |H(\omega)| = \frac{1}{\sqrt{1 + \left(\frac{\omega L}{R}\right)^2}}$$

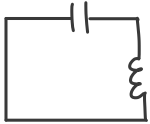
$$\beta(\omega) = -\arg\{H(\omega)\} = \arg\left\{1 + \frac{j\omega L}{R}\right\} = \arctan \frac{\omega L}{R}$$

↓
gráfico → $\omega = 0 \rightarrow \frac{1}{\sqrt{1}} = 1$
 $\omega = +\infty \rightarrow 0$
 $\omega = \omega_0 \rightarrow \frac{1}{\sqrt{1 + \left(\frac{R}{L} \frac{1}{\omega}\right)^2}} = \frac{1}{\sqrt{2}}$
 $\frac{R}{L}$

↓
gráfico → $\omega = 0 \rightarrow 0$
 $\omega = +\infty \rightarrow \frac{\pi}{2}$
 $\omega = \omega_0 \rightarrow \frac{\pi}{4}$
 $\frac{R}{L}$



Circuito CL



multiplico $\times j\omega C \rightarrow j^2 = -1$

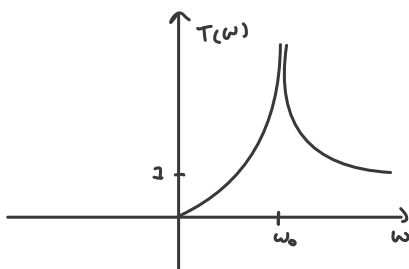
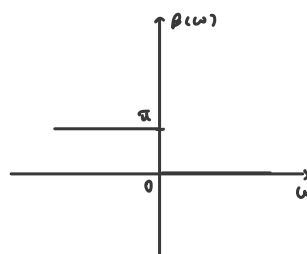
$$H(\omega) = \frac{Z_2}{Z_1 + Z_2} = \frac{j\omega L}{\frac{1}{j\omega C} + j\omega L} = \frac{j\omega L}{\frac{1 + j^2\omega^2 CL}{j\omega C}} = \frac{j^2\omega^2 CL}{1 - \omega^2 CL} = \frac{-\omega^2 CL}{-\omega^2 CL + 1} \rightarrow \frac{\omega^2 CL}{\omega^2 CL - 1}$$

↓
 $T(\omega) = |H(\omega)| =$ é real, coincide com $H(\omega) \rightarrow \frac{\omega^2 CL}{\omega^2 CL - 1}$

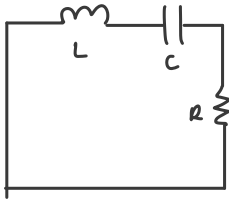
↓
 $\beta(\omega) = -\arg\{H(\omega)\} = H(\omega)$ é real $\rightarrow \beta(\omega) = \begin{cases} 0 & H(\omega) > 0 \\ \pi & H(\omega) < 0 \end{cases}$

gráfico → $\omega = 0 \rightarrow 0$
 $\omega = +\infty \rightarrow \lim_{\omega \rightarrow \infty} \frac{\omega^2 CL}{\omega^2 CL - 1} = 1$
 $\omega = \omega_0 = \frac{1}{\sqrt{CL}} = \frac{1}{\omega_c} = +\infty$
 $\frac{1}{\sqrt{CL}}$

gráfico



Ciruito LCR serie

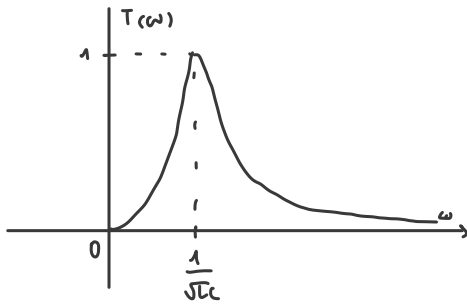


$$Z_1 = j\omega L + \frac{1}{j\omega C} \quad Z_2 = R$$

$$H(\omega) = \frac{Z_2}{Z_1 + Z_2} = \frac{R}{j\omega L + \frac{1}{j\omega C} + R} = \frac{R}{\frac{j^2 \omega^2 LC + 1 + j\omega CR}{j\omega C}} = \frac{j\omega CR}{1 - \omega^2 LC + j\omega CR}$$

$$T(\omega) = |H(\omega)| = \frac{\omega CR}{\sqrt{(1 - \omega^2 LC)^2 + (\omega CR)^2}}$$

grafico $\rightarrow \omega = 0 \rightarrow 0$
 $\omega = +\infty \rightarrow 0$
 $\omega = \omega_0 = \frac{1}{\sqrt{LC}} \rightarrow \frac{\frac{1}{\sqrt{LC}} \cdot CR}{\sqrt{(\frac{1}{\sqrt{LC}} \cdot CR)^2}} = 1$



$$\beta(\omega) = -\arg\{H(\omega)\} = \arg\{1 - \omega^2 LC + j\omega CR\} - \arg\{j\omega CR\}$$

$$\arg\{1 - \omega^2 LC + j\omega CR\} = \begin{cases} \arctg\left(\frac{\omega CR}{1 - \omega^2 LC}\right) & \omega \leq \omega_0 \\ \arctg\left(\frac{\omega CR}{1 - \omega^2 LC}\right) + \pi & \omega > \omega_0 \end{cases}$$

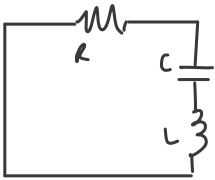
$$\arg\left\{\frac{\omega CR}{0}\right\} = \frac{\pi}{2} \quad a=0, b>0$$

$$\beta(\omega) = \begin{cases} \arctg\left(\frac{\omega CR}{1 - \omega^2 LC}\right) - \frac{\pi}{2} & \omega \leq \omega_0 \\ \arctg\left(\frac{\omega CR}{1 - \omega^2 LC}\right) + \frac{\pi}{2} & \omega > \omega_0 \end{cases}$$

grafico $\rightarrow \omega = 0 \rightarrow -\frac{\pi}{2}$
 $\omega = +\infty \rightarrow +\frac{\pi}{2}$
 $\omega = \omega_0$

$$\arctg\left(\frac{\frac{1}{\sqrt{LC}} CR}{0}\right) - \frac{\pi}{2} \rightarrow \arctg + \infty - \frac{\pi}{2} = \frac{\pi}{2} - \frac{\pi}{2} = 0$$

Ciruito RCL serie

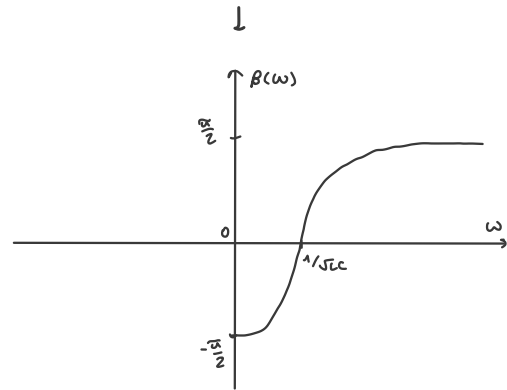
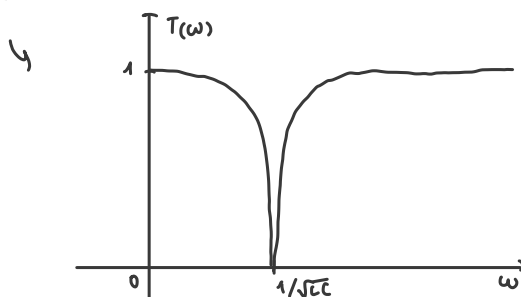


$$H(\omega) = \frac{1 - \omega^2 LC}{1 - \omega^2 LC + j\omega CR}$$

$$T(\omega) = \frac{|1 - \omega^2 LC|}{\sqrt{(1 - \omega^2 LC)^2 + (\omega CR)^2}}$$

grafico $\rightarrow \omega = 0 \rightarrow 1 \rightarrow \frac{1}{\sqrt{1}}$
 $\omega = +\infty \rightarrow 1$
 $\omega = \omega_0$

$$\frac{|1 - \frac{1}{\sqrt{LC}} LC|}{\sqrt{(\frac{1}{\sqrt{LC}} CR)^2}} = 0$$



$s(t) = x(t) \cos(\omega_0 t)$ con $x(t)$ impulso rettangolare di durata τ (tronco di sinusoidale)

$$\cos(\omega_0 t) = \frac{e^{j\omega_0 t} + e^{-j\omega_0 t}}{2} \rightarrow s(t) = \frac{1}{2} x(t) e^{j\omega_0 t} + \frac{1}{2} x(t) e^{-j\omega_0 t}$$

$$S(\omega) = \int_{-\infty}^{+\infty} x(t) e^{-j\omega t} dt \rightarrow S(\omega) = \frac{1}{2} \int_{-\infty}^{+\infty} x(t) e^{j\omega_0 t} e^{-j\omega t} dt + \frac{1}{2} \int_{-\infty}^{+\infty} x(t) e^{-j\omega_0 t} e^{-j\omega t} dt =$$

trasformata dell'impulso
rettangolare:

$$X(\omega) = \tau \text{sinc}\left(\frac{\omega \tau}{2\pi}\right)$$

$$= \frac{1}{2} \int_{-\infty}^{+\infty} x(t) e^{-j(\omega - \omega_0)t} dt + \frac{1}{2} \int_{-\infty}^{+\infty} x(t) e^{-j(\omega + \omega_0)t} dt =$$

$$= \frac{1}{2} X(\omega - \omega_0) + \frac{1}{2} X(\omega + \omega_0) \rightarrow \text{teorema fondamentale della modulazione}$$

$$S(\omega) = \frac{1}{2} X(\omega - \omega_0) + \frac{1}{2} X(\omega + \omega_0) = \frac{1}{2} \tau \text{sinc}\left(\frac{\omega - \omega_0}{2\pi}\right) + \frac{1}{2} \tau \text{sinc}\left(\frac{\omega + \omega_0}{2\pi}\right)$$

trasformata di $x(t) = e^{-t} u(t)$ funzione gradino

$$X(\omega) = \int_{-\infty}^{+\infty} x(t) e^{-j\omega t} dt = \int_{-\infty}^{+\infty} e^{-t} u(t) e^{-j\omega t} dt = \int_0^{\infty} e^{-t} e^{-j\omega t} dt = \int_0^{\infty} e^{t(-1-j\omega)} dt =$$

$$= \left[\frac{e^{t(-1-j\omega)}}{-1-j\omega} \right]_0^{\infty} = \frac{-1}{-1-j\omega} = \frac{1}{1+j\omega}$$

$x(t)$ reale \rightarrow si possono calcolare gli spettri monodateri

$$V(\omega) = \frac{|X(\omega)|}{\tau} = \frac{1}{\tau} \left| \frac{1}{1+j\omega} \right| = \frac{1}{\tau \sqrt{1+\omega^2}}$$

$$\varphi(\omega) = -\arg\{X(\omega)\} = \arg\{1+j\omega\} - \arg\{1\} = \arctg\{\omega\}$$

$$\varphi_1 = \varphi_{x_1} + \beta(\omega_1)$$

$$A_{y_1} = A_{x_1} T(\omega_1)$$

risposta lineare a due sinusoidi $V_1 \cos(\omega_1 t - \varphi_1)$ e $V_2 \cos(\omega_2 t - \varphi_2)$

$$x_1(t) = A_{x_1} \cos(\omega_1 t - \varphi_1) \quad A_{x_1} = V_1 \rightarrow y_1(t) = A_{x_1} T(\omega_1) \cos[\omega_1 t - \varphi_{x_1} - \beta(\omega_1)] = A_{y_1} \cos(\omega_1 t - \varphi_1)$$

$$x_2(t) = A_{x_2} \cos(\omega_2 t - \varphi_2) \quad A_{x_2} = V_2 \rightarrow y_2(t) = A_{x_2} T(\omega_2) \cos[\omega_2 t - \varphi_{x_2} - \beta(\omega_2)] = A_{y_2} \cos(\omega_2 t - \varphi_2)$$

$$\text{per linearità, faccio la somma} \rightarrow y(t) = A_{y_1} \cos(\omega_1 t - \varphi_1) + A_{y_2} \cos(\omega_2 t - \varphi_2)$$

trasformata di un impulso rettangolare

$$X(\omega) = \int_{-\infty}^{+\infty} x(t) e^{-j\omega t} dt = A \int_{-\tau/2}^{+\tau/2} e^{-j\omega t} dt = A \left[\frac{e^{-j\omega t}}{-j\omega} \right]_{-\tau/2}^{+\tau/2} = A \frac{e^{-j\omega \tau/2} - e^{j\omega \tau/2}}{-j\omega} =$$

$$= A \frac{-2j \operatorname{sen}(\omega \tau/2)}{-j\omega} = A \tau \frac{\operatorname{sen}(\omega \tau/2)}{\omega \tau/2} = I \frac{\operatorname{sen}(\omega \tau/2)}{\omega \tau/2} = I \operatorname{sinc}\left(\frac{\omega \tau}{2\pi}\right)$$

$$V(\omega) = \frac{|X(\omega)|}{\tau} = \frac{I}{\tau} \left| \frac{\operatorname{sen}(\omega \tau/2)}{\omega \tau/2} \right| = \frac{I}{\tau} \left| \operatorname{sinc}\left(\frac{\omega \tau}{2\pi}\right) \right|$$

$$\varphi(\omega) = -\arg\{X(\omega)\} = \begin{cases} 0 & X(\omega) > 0 \\ \pi & X(\omega) < 0 \end{cases}$$

antitrasformata di un impulso rettangolare nelle frequenze

$$X(\omega) = \begin{cases} X_0 & |\omega| < \omega_m \\ 0 & |\omega| > \omega_m \end{cases} \quad X_0 > 0$$

$$x(t) = \frac{1}{2\pi} \int_{-\infty}^{+\infty} X(\omega) e^{j\omega t} d\omega = \frac{X_0}{2\pi} \int_{-\omega_m}^{+\omega_m} e^{j\omega t} d\omega = \frac{X_0}{2\pi} \left[\frac{e^{j\omega t}}{jt} \right]_{-\omega_m}^{+\omega_m} = \frac{X_0 \omega_m}{\pi} \frac{\operatorname{sen}(\omega_m t)}{\omega_m t} = X_0 \frac{\operatorname{sen}(\omega_m t)}{\omega_m t}$$

$$\text{variante} \rightarrow X(\omega) = \begin{cases} X_0 e^{-j\omega t_0} & |\omega| < \omega_m \\ 0 & |\omega| > \omega_m \end{cases}$$

$$X_0 \operatorname{sinc}\left(\frac{\omega_m t}{\pi}\right)$$

$$x(t) = X_0 \frac{\operatorname{sen}[\omega_m(t-t_0)]}{\omega_m(t-t_0)} = X_0 \operatorname{sinc}\left[\frac{\omega_m(t-t_0)}{\pi}\right]$$

↓
maggiore la
banda ω_m ,
↑
stretto il sinc

MODULAZIONI ANALOGICHE

$$V(t) = V_0 \text{ ampiezza (costante)}$$

$$m(t) = \frac{V(t) - V_0}{V_0} \text{ deviaz. relativa di ampiezza}$$

modulazione AM : $\begin{cases} m(t) = kx(t) \rightarrow \text{deviazione di ampiezza proporzionale al segnale modulante} \\ \alpha(t) = 0 \rightarrow \text{deviazione di fase nulla} \rightarrow \alpha(t) = \varphi(t) - (\omega_0 t - \varphi_0) \end{cases}$

indice di modulaz. $\rightarrow kx(t) \geq 1 \rightarrow s(t) = V_0 [1 + kx(t)] \cos[\omega_0 t - \varphi_0]$ con $V_0 [1 + kx(t)] > 0$

$$m_a = \max(|m(t)|) \quad m_a \in [0, 1]$$

deve essere $m_a \leq 1$ affinché l'involuppo del segnale modulato abbia lo stesso andamento dell'informazione da trasmettere

per $m_a > 1$ il segnale $x(t)$ si dice in sovrarmodulazione non consente ricostruzione fedele dell'informazione

involuppo complesso di un segnale

$$s(t) = V(t) \cos[\omega_0 t + \alpha(t) - \varphi_0]$$

$$s(t) = \text{Re} \{ i(t) e^{j\omega_0 t} \} \rightarrow i(t) = V(t) e^{j[\alpha(t) - \varphi_0]}$$

in AM deve sempre esserci un legame lineare fra ampiezza istantanea e segnale modulante

involuppo complesso

$$i(t) = V_0 [1 + kx(t)]$$

supponiamo che $x(t)$, di tipo passa-basso sia rappresentabile dall'integrale di Fourier

$$x(t) = \int_{\omega_i}^{\omega_m} V(\omega) \cos[\omega t - \varphi(\omega)] d\omega$$

sostituendo nell'espressione generale dell'AM

$$s(t) = \underbrace{V_0 \cos \omega_0 t}_{\text{portante}} + \underbrace{\frac{kV_0}{2} \int_{\omega_i}^{\omega_m} V(\omega) \cos[(\omega_0 + \omega)t - \varphi(\omega)] d\omega}_{\text{banda laterale superiore}} + \underbrace{\frac{kV_0}{2} \int_{\omega_i}^{\omega_m} V(\omega) \cos[(\omega_0 - \omega)t + \varphi(\omega)] d\omega}_{\text{banda laterale inferiore}}$$

quando soppressa: DSB (double side band), trasmesse solo le bande laterali

SSB (single side band)

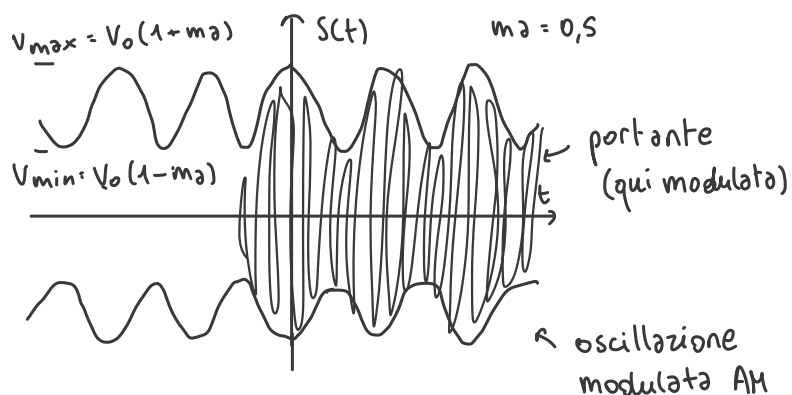
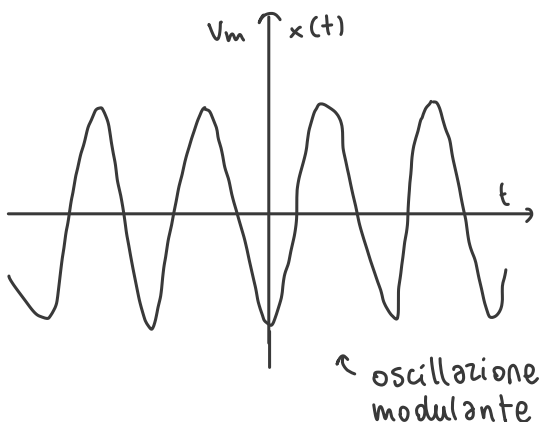
si trasmette una sola banda laterale

superiore \rightarrow USB

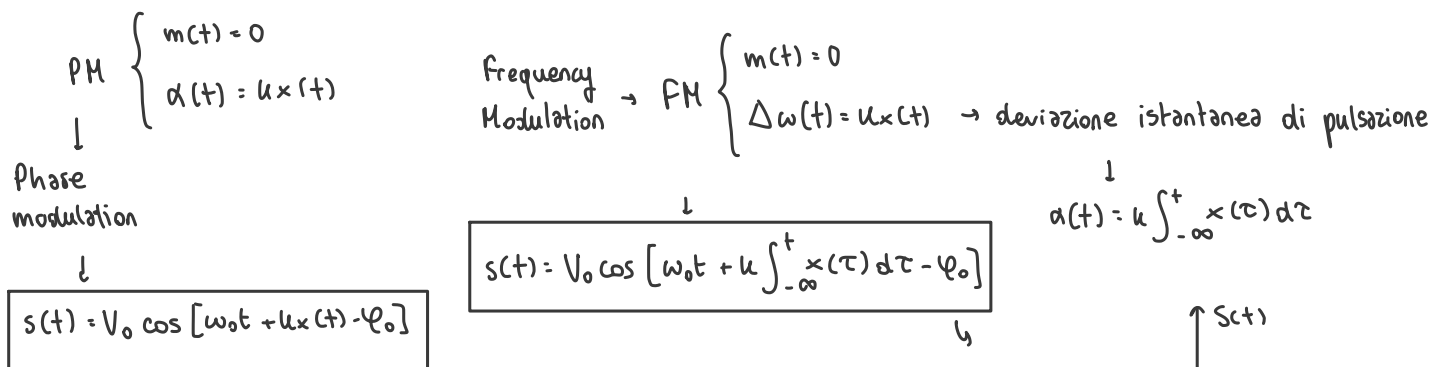
inferiore \rightarrow LSB

DSB-SC \rightarrow suppressed carrier

\rightarrow se elimina anche una delle due bande laterali \rightarrow SSB-SC



modulazioni PM e FM sono modulazioni angolari, cioè modificano argomento della sinusoida portante



MODULAZIONI A PRODOTTO \rightarrow $s(t) = x(t) \cos \omega_0 t$

$i(t) = x(t)$ \downarrow modulazione ibrida, sia l'ampiezza istantanea che deviaz. istantanea di fase variano nel tempo

$V(t) = |x(t)|$ \downarrow $\alpha(t) = \begin{cases} 0 & x(t) > 0 \\ \pi & x(t) < 0 \end{cases}$

trasformata = teorema fondamentale modulazione

\downarrow $S(\omega) = \frac{1}{2} X(\omega - \omega_0) + \frac{1}{2} X(\omega + \omega_0)$

banda di $s(t)$ doppia rispetto a quella di $x(t)$ \rightarrow efficienza $\eta_f = \frac{B_x}{B_s} = \frac{\omega_m}{2\omega_m} = \frac{1}{2}$

\rightarrow banda $x(t)$
 \rightarrow banda $s(t)$

demodulatore \rightarrow demodulazione = $x(t) \cdot 2s(t)$

\downarrow $\begin{matrix} \text{oscillazione} \\ \text{modulante} \end{matrix}$ \rightarrow portante

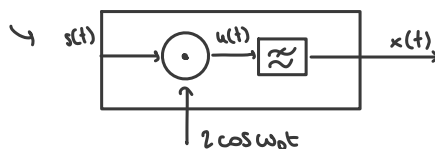
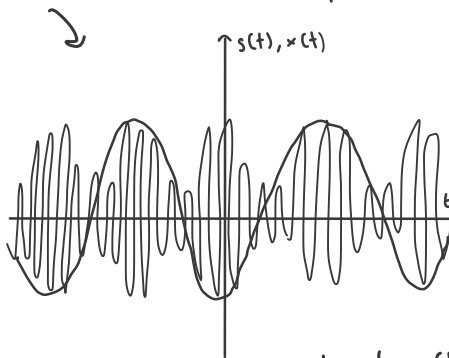
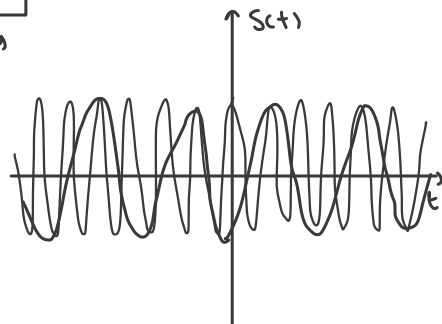
$u(t) = 2s(t) \cos \omega_0 t = 2x(t) \cos^2 \omega_0 t = x(t) + x(t) \cos 2\omega_0 t \rightarrow$ poi filtro passa-basso $\rightarrow x_d(t) = x(t)$

quindi demodulatore = modulatore a prodotto + filtro passa-basso

la portante deve essere ricostruita non solo in frequenza ma anche in fase (demodulatore coerente)

\downarrow l'errore di fase provoca un'attenuazione del segnale demodulato, $x_d(t) = x(t) \cos \Delta$

\downarrow $u(t) = x(t) \cos \Delta + x(t) \cos(2\omega_0 t - \Delta)$



MODULAZIONE QAM

→ estensione della modulazione a prodotto → 2 modulazioni a prodotto con portanti in quadratura

↓
due segnali modulanti:
 $x_1(t)$ e $x_2(t)$ con
stesse caratteristiche
spettrali e indipendenti

↓
seconda portante sfasata in anticipo di $\frac{\pi}{2}$

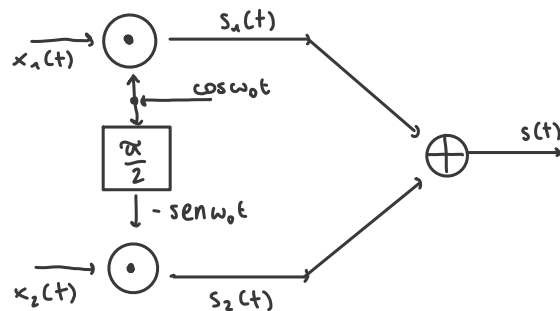
→ segnale in uscita
1° modulatore → via in fase
2° modulatore → via in quadrat.

$$s(t) = x_1(t) \cos \omega_0 t - x_2(t) \sin \omega_0 t$$

↓
involuppo complesso

$$i(t) = x_1(t) + j x_2(t)$$

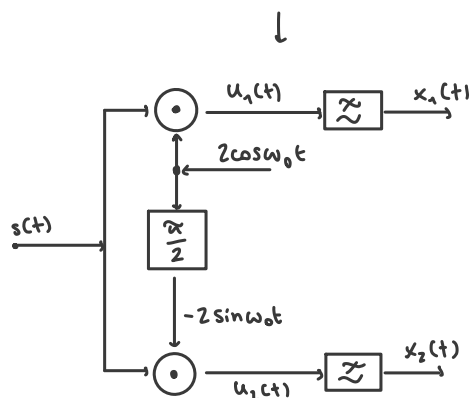
modulazione ibrida, $i(t)$ varia sia in modulo che in argomento



gli spettri della via in fase e della via in quadratura si sovrappongono → l'efficienza in frequenza è quindi doppia

il demodulatore è la somma di due demodulatori a prodotto

$$\eta_f = \frac{2B_x}{B_s} = \frac{2\omega_m}{2\omega_m} = 1$$



per la via in fase si ha:

$$\begin{aligned} u_p(t) &= 2s(t) \cos \omega_0 t = 2x_1(t) \cos^2 \omega_0 t - 2x_2(t) \sin \omega_0 t \cos \omega_0 t = \\ &= x_1(t) + x_1(t) \cos 2\omega_0 t - x_2(t) \sin 2\omega_0 t \rightarrow \text{poi passa basso} \\ x_{pd}(t) &= x_1(t) \end{aligned}$$

per la via in quadratura:

$$\begin{aligned} u_q(t) &= -2s(t) \sin \omega_0 t = 2x_2(t) \sin^2 \omega_0 t - 2x_1(t) \sin \omega_0 t \cos \omega_0 t = \\ &= x_2(t) - x_2(t) \cos 2\omega_0 t - x_1(t) \sin 2\omega_0 t \rightarrow x_{qd}(t) = x_2(t) \end{aligned}$$

nel caso del QAM un errore di fase provoca non solo un'attenuazione del segnale utile, ma anche una interferenza nella via in quadratura

$$x_{pd}(t) = x_1(t) \cos \Delta - x_2(t) \sin \Delta$$

$$x_{qd}(t) = x_2(t) \cos \Delta + x_1(t) \sin \Delta$$

$$\arctan(-\infty) = -\frac{\pi}{2}$$

$$\arctan(0) = 0$$

$$\arctan(1) = \frac{\pi}{4}$$

$$\arctan(+\infty) = \frac{\pi}{2}$$

$$\arg\{a + jb\} = \begin{cases} \arctan\left(\frac{b}{a}\right) & \text{se } a > 0 \\ \arctan\left(\frac{b}{a}\right) + \pi & \text{se } a < 0 \end{cases}$$